

ВОЗБУЖДЕНИЕ ПЛОСКОГО ДИЭЛЕКТРИЧЕСКОГО СЛОЯ СКАНИРУЮЩИМ ЭЛЕКТРОННЫМ ПОТОКОМ

С. В. Афанасьев

В [1] отмечалось, что большое число интересных задач об излучении сверхсветовых источников возникает в направляющих системах или волноводах. Особо отметим диэлектрические волноводы, обладающие определенной избирательностью, так как в них распространяется конечное число типов волн [2].

Ниже получено решение задачи о возбуждении диэлектрического слоя толщины h потоком заряженных частиц, расположенных в пространстве вдоль прямой линии, перемещающейся со скоростью $\mathbf{v} = \{-v, 0, 0\}$ и создающей ток

$$j(r, t) = qv \delta(y) \int_{-\infty}^{+\infty} dx \delta(z - a) \delta(x - a \operatorname{tg} \gamma + vt), \quad (1)$$

где q — заряд на единицу длины заряженной нити. Взаимное расположение заряженной нити и диэлектрического слоя показано на рис. 1.

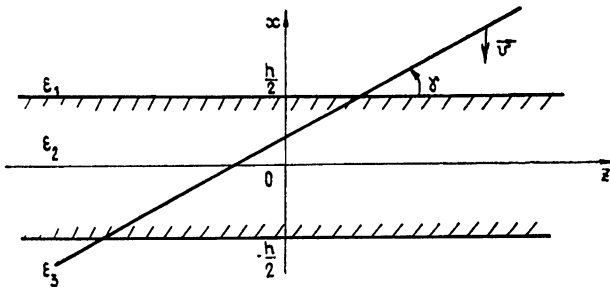


Рис. 1.

Поля во всем пространстве находим через x -компоненту вектора Герца Π_ω по формулам

$$H_\omega^{(k)} = -i \varepsilon_k (\omega/c) \operatorname{rot} \Pi_\omega^{(k)}, \quad E_\omega^{(k)} = \operatorname{grad} \operatorname{div} \Pi_\omega^{(k)} + \varepsilon_k (\omega^2/c^2) \Pi_\omega^{(k)}, \quad (2)$$

причем x -компонента Π_ω в соответствующей среде определяется выражениями

$$\Pi_\omega^{(1)} = \Pi_{\omega(0)}^{(1)} + A \exp[-\chi_1 x + i(\omega/v_*)z],$$

$$\Pi_\omega^{(2)} = \Pi_{\omega(0)}^{(2)} = (B \exp(i\chi_2 x) + C \exp(-i\chi_2 x)) \exp[i(\omega/v_*)z], \quad (3)$$

$$\Pi_\omega^{(3)} = \Pi_{\omega(0)}^{(3)} + D \exp[\chi_1 x + i(\omega/v_*)z],$$

где $v_* = v \operatorname{tg}^{-1} \gamma$, а поперечные волновые числа χ_1 и χ_2 равны

$$\chi_1^2 = \omega^2/v_*^2 - \omega^2/c^2 - k_y^2, \quad \chi_2^2 = \varepsilon (\omega^2/c^2) - \omega^2/v_*^2 - k_y^2. \quad (4)$$

Компоненты $\Pi_{\omega(0)}^{(k)}$ являются решениями соответствующих уравнений

$$\Delta \Pi_\omega + (\varepsilon \omega^2/c^2) \Pi_\omega = -i 4\pi j_\omega / \omega \varepsilon$$

и имеют вид

$$\Pi_{\omega(0)}^{(k)} = i \frac{2qv}{\omega v \varepsilon_k} \int_{-\infty}^{+\infty} dk_y \frac{\exp[-ik_y y - i(\omega/v)x + i(\omega/v_*)z]}{\varepsilon_k \omega^2/c^2 - \omega^2/v_*^2 - \omega^2/v^2 - k_y^2}, \quad (5)$$

а коэффициенты A, B, C, D учитывают решения однородных уравнений и находятся из граничных условий непрерывности тангенциальных составляющих E и H при $x = \pm h/2$.

В дальнейшем будем считать $\varepsilon_1 = \varepsilon_3 = 1$, $\varepsilon_2 = \varepsilon$, а также пренебрежем зависимостью полей от координаты y . В итоге выражения для коэффициентов B и C примут вид

$$B = \left\{ \chi_1 \left[\left(\frac{\chi_2}{\varepsilon} - \frac{\omega}{v} \right) \left(\chi_2^2 - \frac{\omega^2}{v^2} \right) + \left(\frac{\chi_2}{\varepsilon} - \frac{\omega}{v\varepsilon} \right) \left(\chi_1^2 + \frac{\omega^2}{v^2} \right) \right] \times \right. \\ \left. \times \cos \frac{h}{2} \left(\frac{\omega}{v} - \chi_2 \right) - \left[\left(\chi_1^2 + \frac{\omega}{v} \frac{\chi_2}{\varepsilon} \right) \left(\chi_2^2 - \frac{\omega^2}{v^2} \right) + \right. \right. \quad (6)$$

$$\left. \left. + \left(\chi_1^2 + \frac{\omega}{v} \frac{\chi_2}{\varepsilon} \right) \left(\chi_1^2 + \frac{\omega^2}{v^2} \right) \right] \sin \frac{h}{2} \left(\frac{\omega}{v} - \chi_2 \right) \right\} \Delta, \quad C = -B(-v);$$

$$\Delta = \left(\chi_1^2 + \frac{\omega^2}{v^2} \right) \left(\chi_2^2 - \frac{\omega^2}{v^2} \right) \left[\left(\frac{\chi_2}{\varepsilon^2} - \chi_1 \right) \sin \chi_2 h - 2 \frac{\chi_1 \chi_2}{\varepsilon} \cos \chi_2 h \right]. \quad (7)$$

Коэффициенты A и D в дальнейшем не используются, и мы их не выписываем. Выражения (2) с учетом (3)–(6) полностью определяют поле в слое.

Из (3) и (4) следует, что диэлектрический слой будет служить волноводом для мод, у которых $\chi_1^2 > 0$ и $\chi_2^2 > 0$, что возможно при

$$1/\sqrt{\varepsilon} < \beta_* < 1, \quad (8)$$

$\beta_* = v_*/c$. Если учесть, что v_* есть скорость сканирования вдоль оси волновода области пересечения зарядами слоя и в то же время фазовая скорость распространяющихся волн в слое, то условие (8) при любой скорости частиц v может быть выполнено соответствующим выбором параметра γ (угла наклона фронта частиц к поверхности диэлектрического слоя). Конечное число возможных мод или постоянных распространения ω/v_* определяется из условия $\Delta=0$. Интересным представляется случай, когда при заданных ω , ε и h имеется единственное решение для β_* уравнения

$$\operatorname{tg} h \frac{\omega}{c} \frac{\sqrt{\varepsilon \beta_*^2 - 1}}{\beta_*} = \frac{2 \sqrt{(1 - \beta_*^2)(\varepsilon \beta_*^2 - 1)}}{\beta_*^2 (\varepsilon + 1) - 1/\varepsilon + \varepsilon}, \quad (9)$$

что соответствует работе волновода в одномодовом режиме. Возможные значения указанных параметров при β_* , определяемом (8), находятся из условия $h(\omega/c)\sqrt{\varepsilon-1} < \pi$. Уравнение (9) может быть решено численно (см. рис. 2, где кривые 1 и 2 соответствуют функциям в правой и левой частях уравнения (9)).

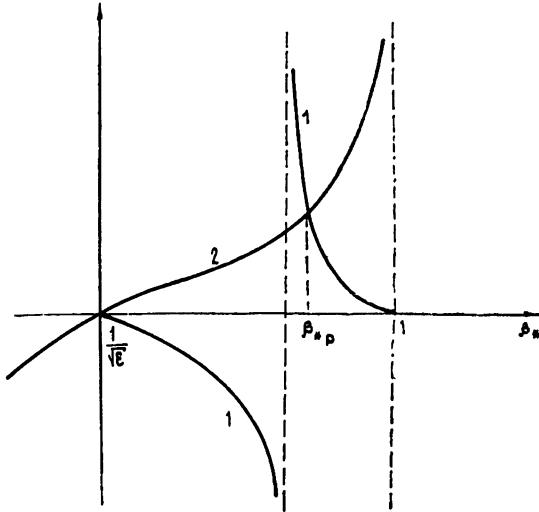


Рис. 2.

Остановимся теперь на механизмах возникновения излучения в диэлектрическом волноводе. Ими являются переходное излучение [3] и черенковское, которое возможно при выполнении условия $v > c/\sqrt{\varepsilon}$. Однако это условие для возбуждения рабочей моды за счет черенковского излучения не является достаточным: необходимо еще выполнение условия $\chi_2 = \omega/v$, при котором черенковская волна испытывает полное внутреннее отражение.

Потери энергии заряженной нити на создание бегущей моды находим как работу поля над зарядами, т. е.

$$\frac{dW}{dt} = \int j E dV = \frac{v_*}{2\pi} \int_{-h/2}^{h/2} dx \int_{-\infty}^{+\infty} d\omega j_{-\omega}(x) E_{\omega}(x) = \quad (10)$$

$$= i \frac{8q^2 v^2}{v_0} \int_{-\infty}^{+\infty} \left(\frac{\omega^2}{c^2} - \frac{\chi_2^2}{\epsilon} \right) \frac{B \sin(h/2) (\chi_2 + \omega/v)}{\chi_2 + \omega/v} d\omega.$$

При условии $\chi_2 = \omega/v$ (фактически задано соотношение $\beta = \beta_0 / \sqrt{\epsilon\beta^2 - 1}$) интеграл имеет более простой вид

$$\frac{dW}{dt} = i4q^2 \beta^3 \sqrt{\epsilon\beta^2 - 1} \int_{-\infty}^{+\infty} \left(1 - \frac{1}{\epsilon\beta^2} \right) \left\{ \frac{\eta}{4} \left[\beta^2 (\epsilon - 1) - 1 + \frac{1}{\epsilon^2} \right] - \right. \\ \left. - \frac{1}{\epsilon} \left(\frac{1}{\beta^2} - \frac{1}{2} \right) \sqrt{\beta^2 (\epsilon - 1) - 1} \right\} \left[\frac{1}{\epsilon^2} - \beta^2 (\epsilon - 1) + 1 - \frac{2}{\epsilon} \sqrt{\beta^2 (\epsilon - 1) - 1} \operatorname{ctg} \eta \right]^{-1} \frac{d\eta}{\eta} \quad (11)$$

и сводится к сумме вычетов в точках

$$\eta_m = \operatorname{arccctg} \frac{1/\epsilon^2 - \beta^2 (\epsilon - 1) + 1}{2/\epsilon \sqrt{\beta^2 (\epsilon - 1) - 1}} + m\pi, \quad m = 0, 1, 2, \dots \quad (12)$$

В итоге передаваемая по волноводу энергия выражается через ϵ и β следующим образом:

$$\frac{dW}{dt} = 8\pi q^2 \beta^3 \sqrt{\epsilon\beta^2 - 1} (1 - 1/\epsilon\beta^2) \times \\ \times \left\{ \frac{[\beta^2 (\epsilon - 1) - 1 + 1/\epsilon^2] \epsilon}{8(1 + \eta_0^2) \sqrt{\beta^2 (\epsilon - 1) - 1}} - \frac{1/\beta^2 - 1/2}{2\eta_0(1 + \eta_0^2)} \right\}. \quad (13)$$

Численные оценки в (13) при $\beta = 0,99$ показывают, что при $\epsilon > 2$ потери растут линейно с ростом ϵ .

Считаю своим приятным долгом принести благодарность В. Б. Брагинскому за постановку задачи.

ЛИТЕРАТУРА

1. Болотовский Б. М., Гинзбург В. Л. — УФН, 1972, 106, с. 577.
2. Маркузе Д. Оптические волноводы. — М.: Мир, 1974.
3. Гинзбург В. Л., Цытович В. М. Переходное излучение и переходное рассеяние. — М.: Наука, 1984.

Калининский государственный университет

Поступила в редакцию 8 октября 1986 г.

УДК 621.396.677

К ИССЛЕДОВАНИЮ ПОЛЯ, ОТРАЖЕННОГО ОТ ОТРЕЗКА КОРТКОЗАМКНУТОГО ВОЛНОВОДА

Э. М. Инспекторов

При анализе антенных решеток отражательного типа из короткозамкнутых отрезков волноводов используются приближенные методы. Так, в [1] рассматриваются магнитные токи на апертурах волноводов, при этом расстояние h от апертуры до короткозамыкателя сильно влияет на распределение магнитного тока и диаграмму решетки. Представляет интерес более строго исследовать характеристики элемента такой решетки (отраженное поле) в зависимости от h .

Рассмотрим плоский волновод, образованный двумя пластинами с закругленными кромками радиуса a , закороченный на расстоянии h от раскрыва (рис. 1) и возбуждаемый системой M нитей электрического тока. В таком волноводе могут распространяться волны, поле которых не зависит от z . При условии $\lambda/2 < d < \lambda$ распространяется только основной тип волны с компонентами H_y , H_x и E_z , на стенках существуют токи I_z^s , распределение токов симметрично относительно оси y . Такая модель приближенно имитирует короткозамкнутый отрезок прямоугольного волновода в плоскости H .

При решении используем подход, развитый в [2]. Ток I_z^s на контуре l находится из решения интегрального уравнения Фредгольма II рода: